

XANES を用いた逆スピネル型正極の充放電メカニズム

喜多條 鮎子¹、吉田 淳²、中西 真二²、岡田 重人³

1 京都大学触媒電池ユニット、2 トヨタ自動車、3 九州大学先導物質科学研究所

(本文) 逆スピネル型 LiNiVO_4 及び、 LiCoVO_4 は、Li が遷移金属と八面体 $16d$ サイトに共存する逆スピネル構造のためその利用率は 50 mAh/g と低いものの、その放電作動電圧は 4.7 V 、 4.3 V と高い¹⁾。一方、逆スピネル型 LiMnVO_4 は高圧下での合成が必要であるものの、その放電容量は逆スピネル正極ながら 88 mAh/g と大きく、中心金属の違いにより大きく異なる正極特性が興味深い点である²⁾。この点に着目して異種金属ドープによる逆スピネル系酸化物正極の特性改善の糸口を探るため、 $\text{LiMn}_x\text{Co}_{1-x}\text{VO}_4$ 及び、 $\text{LiMn}_y\text{Ni}_{1-y}\text{VO}_4$ の合成及び、その電気化学特性改善について検討を行ってきた³⁾。その結果、 $\text{LiMn}_{0.3}\text{Co}_{0.7}\text{VO}_4$ において、サイクル特性は不十分ながら、逆スピネル系正極で最大の約 100 mAh/g の初回放電容量を達成した。また、 $\text{LiMn}_{0.4}\text{Ni}_{0.6}\text{VO}_4$ では放電容量は約 70 mAh/g と小さいものの、20 サイクル後も約 65 mAh/g の放電容量を維持することを明らかにした。そこで本研究では、 $\text{LiMn}_{0.3}\text{Co}_{0.7}\text{VO}_4$ と $\text{LiMn}_{0.4}\text{Ni}_{0.6}\text{VO}_4$ のそれぞれの特徴を併せ持つ逆スピネル系正極として、 $\text{LiMn}_{1/3}\text{Co}_{1/3}\text{Ni}_{1/3}\text{VO}_4$ に着目した⁴⁾。そこで本研究では、逆スピネル正極の電気化学特性改善を目指し、 $\text{LiMn}_{1/3}\text{Co}_{1/3}\text{Ni}_{1/3}\text{VO}_4$ 正極の充放電過程における中心金属の価数変化や局所構造変化について検討を行った。

1) G. T. K. Fey, *et al.*, *J. Electrochem. Soc.*, **141**(9), 2279 (1994).

2) A. Subramania, *et al.*, *Mater. Lett.*, **60**, 3023 (2006).

3) A. Kitajou, *et al.*, *J. Power Sources*, in press.

4) G. T. K. Fey, *et al.*, *Mater. Lett.*, **60**, 1209 (2006).

XANESを用いた逆スピニル型正極の充放電メカニズム

喜多條 鮎子¹、吉田 淳²、中西 真二²、岡田 重人³

1 京都大学 転媒電池ユニット、2 トヨタ自動車、3 九州大学先導物質科学研究所

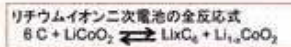
Introduction

リチウムイオン二次電池

リチウムイオン二次電池の作動原理



図1 リチウムイオン二次電池の概略図



現在のリチウムイオン二次電池の正極として用いられている LiCoO_2 は、層状金属錯体を有していることから、リチウムの挿入・脱離がしやすく高いレート特性を有する。しかしながら、0.5電子反応以上のリチウムが脱離した場合、構造変化や著しい熱安定性の低下が問題となっている。

逆スピニル型正極

リチオイドと遷移金属が共存

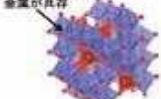


図3 逆スピニル系正極の結晶構造

表1 既報の逆スピニル系正極の電気化学特性

	平均電圧	放電容量	参考
LiCoVO_4	4.1 V	42 mAh/g	G. T. Fey et al., J. Electrochem. Soc., 141, 2279 (1994).
LiNiVO_4	4.7 V	40 mAh/g	G. T. Fey et al., J. Electrochem. Soc., 141, 2279 (1994).
LiMnVO_4	3.8 V	88 mAh/g	A. K. Padhi et al., J. Solid State Chem., 138, 367 (1997).

表2 既報の真種金属ドープ逆スピニル系正極の電気化学特性

逆スピニル正極	平均電圧	放電容量	参考
$\text{LiMn}_{0.9}\text{Co}_{0.1}\text{VO}_4$	4.0 V	40 mAh/g	P. P. Chu, et al., J. Power Sources, 90, 95 (2000).
$\text{LiMn}_{0.9}\text{Mn}_{0.1}\text{VO}_4$	4.1 V	40 mAh/g	G. T. Fey et al., Mater. Lett., 60, 1209 (2000).
$\text{LiMn}_{0.9}\text{Co}_{0.1}\text{VO}_4$	4.3 V	62 mAh/g	G. T. Fey et al., J. Power Sources, 160, 1294 (2006).
$\text{LiFe}_{0.9}\text{Co}_{0.1}\text{VO}_4$	4.2 V	85 mAh/g	N. V. Lautschuch, et al., J. Solid State Electrochem., 8, 28 (2003).
$\text{LiMn}_{0.8}\text{Co}_{0.2}\text{VO}_4$	3.8 V	97 mAh/g	A. Klepp, et al., J. Power Sources, in press.
$\text{LiMn}_{0.8}\text{Ni}_{0.2}\text{VO}_4$	3.8 V	70 mAh/g	A. Klepp, et al., J. Power Sources, in press.

Experiment

Synthesis method of $\text{Li}_x(\text{Mn}_{1/3}\text{Co}_{1/3}\text{Ni}_{1/3})_y\text{VO}_4$



図4 由来ホールド装置

Fabrication of coin cell



Samples for ex situ XANES after initial charge-discharge cycle

測定サンプル調整手順(参考文献)

1. 放電(0.2C)、セルから電極ペレットを採取し取り出す

2. 取り出した電極ペレットをCNCl-CO₂融液に洗浄

3. DMFから取り出し、真空乾燥

4. 真空袋入りでアルミラミート中に封入

XANES 測定

● AB = Acetylene Black (電気工学工具)

● PVDF = Polyvinylidene Difluoride (フレイ)

● 金線 (直径18 mm) Li金属(本体金属)

● セルラー カーフローピン:

(セルガード付)

● 電解液: 1 M LiPF₆ / EC : DMC (1 : 1 v/v)



図5 九州シンクロトロン光研究センター-BL11

Result and discussion

XRD profiles of LiMnVO_4 ($\text{M}=\text{Ni}, \text{Co}, \text{Mn}$) and $\text{Li}_x(\text{Mn}_{1/3}\text{Co}_{1/3}\text{Ni}_{1/3})_y\text{VO}_4$

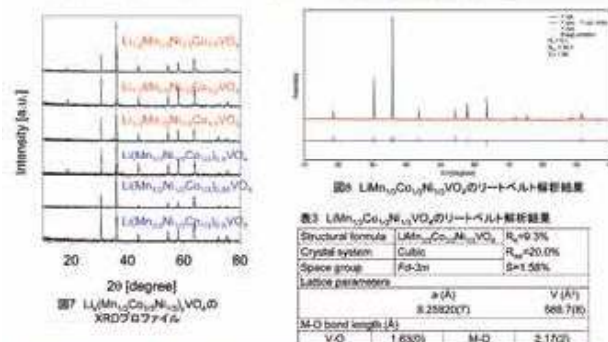


図6 $\text{Li}_x(\text{Mn}_{1/3}\text{Co}_{1/3}\text{Ni}_{1/3})_y\text{VO}_4$ のリードベルト試験結果

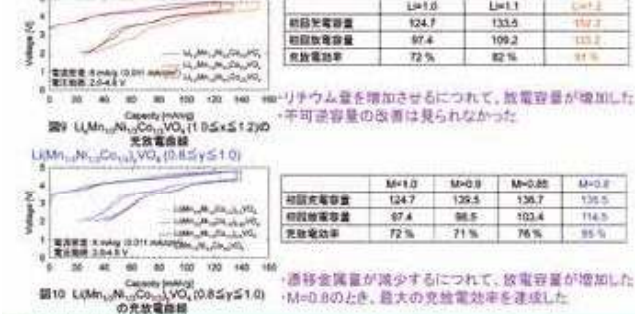
表3 $\text{Li}(\text{Mn}_{1/3}\text{Co}_{1/3}\text{Ni}_{1/3})_y\text{VO}_4$ のリードベルト試験結果

Structural formula	$\text{Li}(\text{Mn}_{1/3}\text{Co}_{1/3}\text{Ni}_{1/3})_y\text{VO}_4$	$R_h < 0.3\%$
Crystal system	Cubic	$R_h < 20.0\%$
Space group	Fd-3m	$S = 1.95\%$
Lattice parameters	$a (\text{\AA})$: 8.2582(7) V (Å ³): 566.7(6)	
M-O bond length (Å)	V-O: 1.63(9) M-O: 2.17(2)	

リチウムリッチ相及び、遷移金属欠損相のどちらの場合であっても単相で合成することに成功

Cathode properties of $\text{Li}_x(\text{Mn}_{1/3}\text{Co}_{1/3}\text{Ni}_{1/3})_y\text{VO}_4$

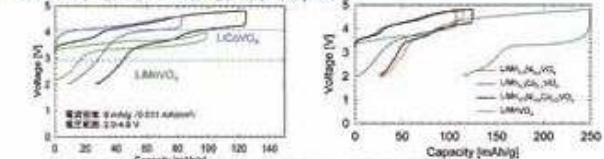
LiMn_{0.8}Ni_{0.2}Co_{0.1}VO₄ (0.8 ≤ y ≤ 1.0) の充放電性能



・リチウム量を増加させるにつれて、放電容量が増加した。
 -不可逆容量の改善は見られなかった。

・過渡金属量が減少するにつれて、放電容量が増加した。
 -M=0.8のとき、最大の充電電効率を達成した。

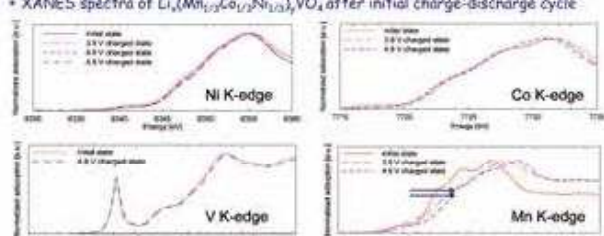
Cathode property of $\text{Li}_x(\text{Mn}_{1/3}\text{Co}_{1/3}\text{Ni}_{1/3})_y\text{VO}_4$



・Fayらの報告と同様に3.2 V, 4.0 V, 4.7 Vに充電平坦部が存在

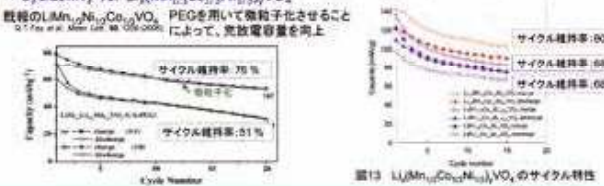
・LiMn_{0.8}Ni_{0.2}VO₄の場合4.0 Vの充電平坦部が見られる

* XANES spectra of $\text{Li}_x(\text{Mn}_{1/3}\text{Co}_{1/3}\text{Ni}_{1/3})_y\text{VO}_4$ after initial charge-discharge cycle



・Ni, Co, Vのリードクス反応は $\text{LiMn}_{0.8}\text{Co}_{0.1}\text{Ni}_{0.1}\text{VO}_4$ の充電反応には寄与せず、Mnのリードクスのみが寄与していることが明らかとなった。

・Cycleability for $\text{Li}_x(\text{Mn}_{1/3}\text{Co}_{1/3}\text{Ni}_{1/3})_y\text{VO}_4$



・サイクル容量率: 100 %
 -サイクル容量率: 95 %

Conclusion

・充電反応は、Ni-Co-Vのリードクス反応は関与せず、すべてMnのリードクス反応で進行することが明らかとなった(図11)

・リチウムリッチ相において可動イオンであるLi含有量を増加させることにより、逆スピニル系正極で最大の120 mAh/gを超える放電容量を達成した(図8)